

54

489



На правах рукописи

Л. В. САВИНЫХ

ИЗУЧЕНИЕ КИНЕТИКИ И МЕХАНИЗМА  
РЕАКЦИЙ ГАЛО- И ПРОТО-ДЕМЕРКУРИРОВАНИЯ

072 — органическая химия

Автореферат диссертации,  
представленной на соискание ученой степени  
кандидата химических наук

ИЗДАТЕЛЬСТВО МОСКОВСКОГО УНИВЕРСИТЕТА · 1970

СК

54

A89

Работа выполнена в лаборатории теоретических проблем органической химии химического факультета МГУ.

Научные руководители: академик О. А. Реутов, доктор химических наук И. П. Беленская.

Официальные оппоненты: доктор химических наук М. Е. Вольпин, кандидат химических наук О. Н. Темкин.

Ведущее предприятие: Институт химической физики АН СССР.

Автореферат разослан « » 1970 г.

Защита диссертации состоится « » 1971 г.  
на заседании Ученого совета № 1 отделения органической химии  
химического факультета МГУ по адресу: Москва, В-234, Ленинские  
горы, Химический факультет МГУ.

С диссертацией можно ознакомиться в библиотеке химического  
факультета МГУ.

Ученый секретарь  
кандидат химических наук  
старший научный сотрудник

(Н. Б. Куплетская)

Закономерности электрофильного замещения у атома углерода в различных валентных состояниях изучаются, как известно, с широким использованием в качестве объектов металлоорганических и, прежде всего, ртутьоорганических соединений. Классическими примерами модельных реакций для исследования механизма электрофильного замещения являютсяproto- и галогенденермокурирование.

Большинство реакций электрофильного замещения в ряду металлоорганических соединений протекают по механизму  $S_{E2}$ , включающему "нуклеофильный катализ" растворителем или специально добавленными нуклеофилами и "нуклеофильное содействие" нуклеофильной частью ( $N$ ) электрофильного агента ( $E - N$ ).

В настоящей работе на примере реакций proto- и галогеномеркурирования показана возможность изменения механизма реакции с  $S_{E2}$  на  $S_{E1}$  при изменении электрооакцепторной способности радикала  $R$  в ртутьоорганических соединениях и использовании растворителей аprotонного диполярного типа. Кроме того, показано, что скорости реакций металлоорганических соединений с электрофильными агентами не могут служить критерием количественной оценки нуклеофильности органической группы, связанной с металлом.

Объектами исследования послужили ртутьоорганические соединения со ртутью, связанный с насыщенным, олефиновым, ароматическим атомом углерода, в число которых входили соединения, содержащие сильные электрооакцепторные группы.

Литературный обзор посвящен кислотному расщеплению связи углерод-элемент, галоиддеметаллированию и  $S_{E1}(N)$  механизму в металлоорганической химии.

I-1812

I. ИДОМЕРУЮЩИЕ СИММЕТРИЧНЫЕ РУБИНОВЫЕ  
НАСОСНЫЕ СОДЛЯНИЯ

Таблица I

В реакции иодомеруирования серии полных симметричных грубоорганических соединений с иодом изучено влияние природы радикала R на скорость процесса в различных растворителях, сильно отличающихся по полярности и способности к специфической связыванию по отношению к реагентам: четыреххлористому углероду, дихлоре, диоксане, диэтилформамиде (ДФ), тетрахлористому фториду (ТХФА). Кинетические измерения проведены спектрофотометрически на поглощении СФ-4 по изменению оптической плотности растворов эпоксида при эквивалентном соотношении реагентов.

Известно, что в  $\text{CCl}_4$  реакция  $\text{R}_2\text{Hg} + \text{J}_2$  осуществляется по механизму бимолекулярного электротропного замещения. Значения константы скорости второго порядка хорошо аппроксимируются по всему ходу кинетической кривой и хорошо совпадают для различных концентраций реагентов. В табл. I во всех исследуемых приведены средние значения констант, полученные при использовании различных бимолекулярных концентраций реагентов ( $1; 0,5; 0,25$ ) -  $10^{-3}$  м./л.

Как видно из данных табл. I, скорость реакции иодомеруирования очень сильно зависит от природы радикала и при переходе, например, от алкинидного к перигорионному аналогу уменьшается ~ в 700 раз. В примененных условиях реакции не удается осуществить для соединений с сильными электроакцепторными группами  $/\text{CH}(\text{CF}_3)_2\text{COOEt}/\text{Hg}$ ,  $/\text{C}(\text{CF}_3)_2\text{COOEt}/\text{Hg}$ ,  $/\text{C}(\text{CF}_3)_3/\text{Hg}$ .

При переходе от  $\text{CCl}_4$  к диоксану скорость реакции диодиода, диимида и диэтилформамидных соединений несколько возрастает, особенно существенно для диимида, в скорости реакции соединений, содержащих электроакцепторные группы R ( $\text{R} = \text{CH} = \text{CH}_2$ ,  $\text{COCH}_3$ ,  $\text{C}_6\text{F}_5$ ), несколько падает. Однако, общий порядок влияния радикала сохраняется за исключением того, что в диоксане наиболее реакционноспособной становится диимида (табл. 2).

Таблица 2

$\text{R} \equiv \text{R}_2\text{Hg}$	ТГС	$K_2, \text{М/СЕК}$			$\Delta H^\circ$ ккал/з.ед.	$-A_2^{\infty}$
		20	30	60		
$\text{CH}_2=\text{CH}$	19,8					
$\text{C}_6\text{H}_5$	5,49	9,65	45,6	9,0	22,3	
$\text{C}_6\text{H}_5\text{CH}_2$	2,50	5,78	14,4	14,0	5,7	
$\text{C}_2\text{H}_5$	1,71	3,49	20,2	11,2	17,7	
$\text{n-C}_3\text{H}_7$	1,82	3,08	18,7	9,6	22,4	
$\text{n-C}_4\text{H}_9$	1,48	2,54	10,9	8,6	26,2	
$\text{C}_6\text{F}_5\text{CH}$	$1,19 \cdot 10^{-2}$	$3,31 \cdot 10^{-2}(40^\circ)$	$7,78 \cdot 10^{-2}$	8,9	34,9	
$\text{CH}_3\text{COC}$		$2,11 \cdot 10^{-2}$	$2,97 \cdot 10^{-2}(40^\circ)$	5,7	45,3	
$\text{CH}_3$		$1,4 \cdot 10^{-1}$				
$\text{C}_6\text{F}_5$	$1,46 \cdot 10^{-3}$	$4,1 \cdot 10^{-3}(40^\circ)$	$1,02 \cdot 10^{-2}$	8,4	40,6	

Увеличение скорости при переходе от несольватирующего растворителя  $\text{CCl}_4$  к диоксану может быть связано с сольватацией ртутьоорганического соединения, которая увеличивает нуклеофильность субстрата. С другой стороны, сольватация диоксаном иода приводит к уменьшению его электрофильности. По-видимому, соединения с электроакцепторными группами, для которых электрофильные реакции в отсутствие нуклеофильных катализаторов вообще протекают с трудом, оказываются наиболее чувствительными к уменьшению электрофильных свойств агента и эффект комплексообразования  $\text{J}_2$ -диоксан для них превалирует над увеличением нуклеофильности за счет координации с растворителем.

Изучение температурной зависимости реакции иоддемеркурирования симметричных ртутьоорганических соединений показало (табл.2), что резкое уменьшение скорости в случае  $\text{R}_2\text{Hg}$ , содержащих электроакцепторные группы, обязано исключительно уменьшению энтропии активации. По-видимому, это связано с неблагоприятными стерическими факторами, возникающими при образовании переходного состояния с участием сильносолвентированных обоих реагентов.

Между величинами  $\Delta H^\ddagger$  и  $\Delta S^\ddagger$  не наблюдается линейной зависимости, хотя точки, соответствующие алкильным производным, лежат на одной прямой. Это подтверждает существенное изменение структуры переходного состояния при переходе от  $\text{AlkR}_2\text{Hg}$  к  $\text{Ph}_2\text{Hg}$  и к  $\text{R}_2\text{Hg}$  с электроакцепторными заместителями.

Замена диоксана на ДМФ приводит к значительному увеличению скорости для всех ртутьоорганических соединений (табл.3).

Увеличение скорости в ДМФ несомненно связано как с увеличением диэлектрической проницаемости среды, так и с увели-

чением нуклеофильности  $\text{R}_2\text{Hg}$  за счет координации с этим растворителем. Одновременное влияние этих факторов оказывается более существенным для всех соединений, чем уменьшение электрофильности агента в комплексе  $\text{J}_2\text{-ДМФ}$ .

Таблица 3

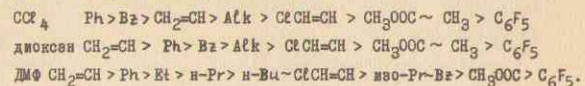
$\text{R} \times \text{R}_2\text{Hg}$	$\text{CH}_2=\text{CH}$	$\text{C}_6\text{H}_5$	$\text{C}_2\text{H}_5$	$\text{n-C}_3\text{H}_7$	$\text{n-C}_4\text{H}_9$
$K_2^{10^0}$ , л/м.сек	25,5	20,3	10,5	6,74	5,70
$R \times R_2Hg$	$\text{ClCH=CHX}^x$	изо- $\text{C}_3\text{H}_7$ <sup>xx</sup>	$\text{C}_6\text{H}_5\text{CH}_2\text{CH}_3\text{OOCX}^x$	$\text{C}_6\text{F}_5\text{X}^x$	
$K_2^{10^0}$ , л/м.сек	15,46	4,10	3,43	$11,56 \cdot 10^{-2}$ $9,33 \cdot 10^{-2} (40^\circ)$	$2,4 \cdot 10^{-2} (40^\circ)$
$R \times R_2Hg$	$\text{CH}(\text{CF}_3)\text{COOEt}$	$\text{C}(\text{CF}_3)_2\text{COOEt}$	$\text{C}(\text{CF}_3)_3$	$\text{CH}_3\text{COCH}_2$	
$K_2^{10^0}$ , сек <sup>-1</sup>	$13,36 \cdot 10^{-4}$			мгновенно,	$10^0$

x) Значения  $K_2$  вычислены на начальных участках кинетических кривых.

xx) Константа плохо выдерживается, вероятно, в связи с окислением  $(\text{изо-Pr})_2\text{Hg}$ .

Общий порядок влияния радикала приблизительно сохраняется, хотя для алкильных производных наблюдается четкое уменьшение реакционной способности в ряду  $\text{Et} > \text{n-Pr} > \text{n-Bu} > \text{изо-Pr}$ , что, вероятно, обусловлено увеличением роли стерического фактора в сильносолвентирующем растворителе.

Таким образом, по своему влиянию на скорость иоддемеркурирования  $\text{R}_2\text{Hg}$  в изученных растворителях радикалы располагаются в следующей последовательности:



Хотя порядок расположения радикалов в рядах, полученных в различных растворителях, сохраняется, отсутствует линейная зависимость между величинами логарифмов констант скоростей для любой пары растворителей. Несоблюдение принципа линейности в изменении свободной энергии при варьировании природы растворителя и отсутствие компенсационного эффекта при варьировании природы радикала показывает, что скорости реакций металлоорганических соединений с электрофильными агентами не могут служить критерием оценки нуклеофильности органической группы, связанной с металлом.

В ДМФ практически мгновенно (в интервале концентраций от  $6 \cdot 10^{-5}$  до  $1 \cdot 10^{-3}$  м/л) при  $10^0$  проходят реакции поддемеркурирования соединений, которые были нереакционноспособны в  $\text{CCl}_4$  и диоксане:  $/(\text{CF}_3)_3/\text{Hg}$  и  $/\text{C}(\text{CF}_3)_2\text{COOEt}/\text{Hg}$ . Образующаяся в реакции несимметричные рутноорганические соединения реагируют с иодом в этих условиях также мгновенно. Эти соединения содержат наиболее электроноакцепторные радикалы, кислотность соответствующих  $\text{CH}$ -кислот в ДМФ составляет 7 в 13. Мы полагаем, что такое резкое изменение реакционной способности этих соединений вызвано изменением механизма. Это предположение подтверждается тем, что реакция  $/\text{CH}(\text{CF}_3)\text{COOEt}/\text{Hg}$  ( $\text{pK}_{\text{a}} \text{CH}_2(\text{CF}_3)\text{COOEt} = 15$ ) следует первому порядку, константа  $K_1$  сохраняет свое значение при варьировании исходных концентраций реагентов.

В наиболее сильном аprotонном диполярном растворителе ГМФТА скорости реакций, осуществляющихся по механизму  $S_{\text{E}}^2$ , резко падают (табл.4). По-видимому, этот эффект обязан существенному уменьшению электрофильности иода из-за образования

комплекса с растворителем.

Таблица 4

$R$ в $R_2\text{Hg}$	$\text{C}_6\text{H}_5$	$\text{C}_6\text{H}_5\text{CH}_2$	$\text{C}_6\text{CH}=\text{CH}$	$\text{C}_6\text{F}_5$	$[\text{C}(\text{CF}_3)_2\text{CO}_2\text{Et}]$ $[(\text{CF}_3)_3\text{C}]$
$K_1$ в д/м.сек ( $^{\circ}\text{C}$ )	0,41(20)	0,21(60)	14,6(20)	0,28(60)	мгновенно (20)

Иключение представляют соединения с сильными электроноакцепторными группами. Реакция  $(\text{C}_6\text{F}_5)_2\text{Hg}$  с  $\text{J}_2$  не испытывает замедления при переходе от ДМФ к ГМФТА, а наименее "кислые" соединения реагируют мгновенно, вероятно, в последнем случае реакция изменяет механизм с  $S_{\text{E}}^2$  на  $S_{\text{E}}\text{I}(\text{N})$ .

#### П. ПОДДЕМЕРКУРИРОВАНИЕ ПЕНТАФТОР- И ПЕНТАХЛОРФЕНИМЕРКУБРОМИДОВ

Механизм реакции поддемеркурирования изучен нами на примере  $\text{C}_6\text{F}_5\text{HgBr}$  и  $\text{C}_6\text{Cl}_5\text{HgBr}$ , обладающих большей способностью к комплексообразованию с нуклеофилами, чем соответствующие  $R_2\text{Hg}$ . Реакция в ДМФ и  $\text{C}_6\text{H}_6$ , в котором для осуществления реакции необходимо наличие иодид-иона, проходит с количественным выходом пентафтор- и пентахлоридбензолов.

Кинетическое изучение реакций в ДМФ и ДМСО, проведенное при различных концентрациях реагентов по изменению оптической плотности иода, показало, что реакция следует первому порядку. Значения константы скорости  $K_1$  при различных температурах приведены в табл.5.

Кинетика реакции  $\text{C}_6\text{F}_5\text{HgBr}$  с водой в ДМФ изучена также по накоплению продукта реакции - пентафторидбензола - с помощью ГМХ. Полученные обоими методами значения  $K_1$  хорошо совпадают,

причем константа скорости реакции первого порядка хорошо выдерживалась по всему ходу кинетической кривой.

Таблица 5

Реакция	$C_6F_5HgBr + J_2$ , ДМФ	$C_6F_5HgBr + J_2$ , ДМСО	$C_6Cl_5HgBr + J_2$ , ДМФ
$t, ^\circ C$	19 21,2 25 30	19 30 40	20,3 25 30 50
$K_{J_2} \cdot 10^5$			
сек.	3,28 4,15 4,59 8,7	2,3 5,5 10,6	1,30 2,0 2,39 9,52
$\Delta H^\ddagger$ ккал/моль	$14,1 \pm 0,3$	$13,3 \pm 0,3$	$11,8 \pm 0,3$
$-\Delta S^\ddagger$ э.д.	133,4	138,2	145,2

Наблюдаемые кинетические закономерности мы объясняем тем, что в первой стадии реакции, которая лимитирует скорость всего процесса, под действием ДМФ (ДМСО) происходит ионизация ртутьоорганического соединения и образуется ионная пара, которая в быстрой стадии взаимодействует с иодом (механизм  $S_EI(N)$ ).

Реакция иоддемеркурирования пентафтор- и пентахлорфенилмеркурбромидов в присутствии иодид-иона следует второму порядку и ее скорость существенно увеличивается (табл. 6).

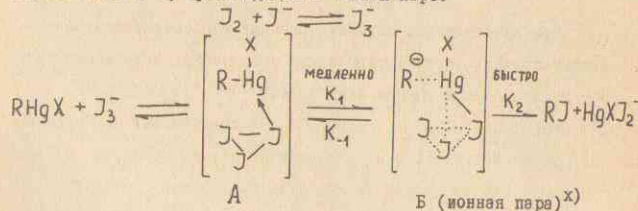
Таблица 6

Реакция	$C_6F_5HgBr + J_3^-$ , ДМФ	$C_6Cl_5HgBr + J_3^-$ , ДМФ
$t, ^\circ C$	30 40	26 30 40
$K_2$ , л/м.сек	0,60 1,27	0,13 0,15 0,38
$\Delta H^\ddagger = 13,5$ ккал/м.- $-\Delta S^\ddagger = 13,2$ э.д.	$\Delta H^\ddagger = 11,9$ ккал/м.- $-\Delta S^\ddagger = 23,9$ э.д.	

Второй порядок в этих реакциях согласуется с представлениями о том, что роль нуклеофильного катализатора выполняет молекула реагента  $J_3^-$ . Существование сильного взаимодействия между  $RHgX$  и  $J_3^-$ , особенно в случае  $C_6F_5HgBr$ , следует из резкого изменения оптической плотности растворов при добавлении ртутьоорганического соединения.

Как видно из сравнения термодинамических параметров, уменьшение скорости для перхлорированного производного по сравнению с перфторированным, как и в случае реакции с  $J_2$ , обуздано уменьшению энтропии активации, которое частично компенсируется уменьшением энталпии активации.

Мы полагаем, что в реакции  $RHgX + J_3^-$  ( $R = C_6F_5$ ,  $C_6Cl_5$ ) кинетические закономерности связаны не с изменением механизма реакции ( $S_EI$  на  $S_E2$ ), а с проявлением нуклеофильного катализа, осуществляемого вторым реагентом. Механизм реакции может быть представлен следующей схемой, в которой медленной стадией является ионизация связи  $C-Hg$  в комплексе  $RHgX \cdot J_3^-$ , а быстрой - внутримолекулярная реакция с образованием связи  $C-J$ , происходящая в ионной паре.



х) термин ионная пара в данном случае условен, т.к. отсутствуют разноизаряженные компоненты.

В отсутствие нуклеофильных катализаторов реакция  $C_6F_5HgBr$  и  $C_6Cl_5HgBr$  с иодом в бензоле не происходит. Скорость реакции с  $I_3^-$  для обоих соединений значительно возрастает при переходе от ДМФ к бензолу. Особенно большое изменение в скорости (~ на 2 порядка) наблюдается для  $C_6F_5HgBr$  ( $K_{2Rf}^{I_3,5^0}=85,6$  л/м.сек,  $K_{2Rf}^{I_3,5^0}=0,98$  л/м.сек). Значительные различия в реакционной способности этих соединений более точно отражают различную способность их к комплексообразованию и координации с анионами (этому не препятствует растворитель, как в случае ДМФ). Этот факт свидетельствует об исключительно важной роли нуклеофильного катализа или нуклеофильной координации. Как и в случае ДМФ, мы полагаем, что лимитирующей стадией процесса является не электрофильная атака иода на атом ртути, а ионизация связи C-Hg в комплексе типа А.

Значительно большая реакционная способность  $C_6F_5HgBr$  по сравнению с  $C_6Cl_5HgBr$  также согласуется с предположением о возможности реализации в этой реакции механизма  $S_EI(N)$ .

#### II. ВЛИЯНИЕ ПРИРОДЫ ГРУППЫ R В RHgX НА СКОРОСТЬ РЕАКЦИИ ИОДДЕМЕРКУРИРОВАНИЯ

При кинетическом изучении реакции иоддемеркурирования несимметричных ртутьноорганических соединений, содержащих сильные электроноакцепторные заместители ( $R = C_6H_5CHCOOC_2H_5$ ,  $CH_2FCOOC_2H_5$ ,  $CF_2COOC_2H_5$ ,  $CH_2COOCH_3$ ) в присутствии нуклеофильного катализатора (ДМФ или  $I_3^-$  в бензоле) мы показали, что механизм  $S_EI(N)$  справедлив и для этих соединений. Увеличение скорости в рассматриваемой серии реакций происходит симбатно с увеличением стабильности карбаниона, входящего в состав ртутьноорганического соединения (табл.7). В таблицу включены

также данные по реакции  $C_6F_5HgBr$  и  $C_6Cl_5HgBr$  с  $I_2$  и  $I_3^-$ , полученные в этих порциях растворителей.

Таблица 7

R в RHgX	pKa RH	RHgX + $I_2$ , ДМФ		RHgX + $I_3^-$ , $C_6H_6$	
		$K_1^{250} \cdot 10^4$ , сек $^{-1}$	$K_2^{22,2^0}$ , л/м.сек	$K_1^{22,2^0}$ , л/м.сек	$K_2^{22,2^0}$ , л/м.сек
$C_6H_5CHCOOC_2H_5$	17	2,16			22,2
$CH_2FCOOC_2H_5$	21		0,79		
$C_6F_5$	28		0,54		109
$CH_2COOCH_3$	24		0,36		6,21
$CF_2COOC_2H_5$	25		0,32		
$C_6Cl_5$	30,5		0,19		2,68

#### IV. ВЛИЯНИЕ ПРИРОДЫ ГРУППЫ R В RHgX НА СКОРОСТЬ РЕАКЦИИ ПРОТОДЕМЕРКУРИРОВАНИЯ

Наряду с реакцией галодемеркурирования в ряду ртутьорганических соединений наиболее полно изученной является реакция кислотного расщепления связи C-Hg. Однако до сих пор не удавалось осуществить протодемеркурирование по механизму  $S_EI$ -типа на широком круге объектов.

Изучение зависимости скорости и механизма реакции протодемеркурирования под действием HCl в ДМФ осуществлено на примере симметричных ртутьноорганических соединений  $R_2Hg$ , содержащих разнообразные электроноакцепторные группы ( $R-CF_2=CF$ ,  $(CF_3)_2CH$ ,  $(CF_3)_2CF$ ,  $C_6F_5$ ,  $CF_2COOEt$ ,  $CF_3$ ,  $PhSO_2CH_2$ ,  $CH=CHCl$ ,  $C_6H_5CHCOOEt$ ,  $CH(CF_3)COOEt$ ,  $PhC\equiv C$ ).

Сложность изучения реакции  $R_2Hg$  с HCl состояла в том, что в условиях  $S_EI(N)$ -реакций образующееся несимметричное ртутьноорганическое соединение  $RHgX$  реагирует с большей скоп-

ростью, чем  $R_2\text{Hg}$  (константа скорости растет по ходу кинетической кривой), а затем начинает сказываться тормозящее действие  $\text{HgX}_2$ . Кроме того, скорости протодемеркурирования соединений, органическим группам которых соответствуют достаточно стабильные карбанионы  $R^\ominus$  ( $\text{pKa } \text{RH} 16-20$ ), очень велики, поэтому изучение реакционной способности симметричных ртутьоорганических соединений в условиях механизма  $S_{\text{E}}\text{I(N)}$  удалось провести только на качественном уровне. Однако, несомненно, что эти данные позволяют расположить радикалы  $R$  в ряд по относительной реакционной способности и этот ряд совпадает с рядом изменения стабильности соответствующих карбанионов  $\text{CH}(\text{CF}_3)_2\text{COOEt}^\ominus > \text{C}_6\text{H}_5\text{CHCOOEt}^\ominus > \text{PhC}\equiv\text{C} > \text{CF}_2=\text{CF} > (\text{CF}_3)_2\text{CH} > (\text{CF}_3)_2\text{CF} > \text{C}_6\text{F}_5 > \text{CF}_2\text{COOEt}^\ominus > \text{CF}_3 > \text{PhSO}_2\text{CH}_2$ .

Как и в ряде других реакций с другими электрофилемами  $E-N$ , электрофильный агент  $\text{HCl}$  может оказывать нуклеофильный катализ за счет координации своей нуклеофильной части с атомом металла и тем самым способствовать осуществлению ионизации по связи  $\text{C}-\text{Hg}$ .

В согласии с высказанными представлениями, мы полагаем, что протолиз ртутьорганических соединений, которым соответствуют достаточно сильные  $\text{CH}$ -кислоты ( $\text{pKa} < 27$ ) осуществляется по механизму  $S_{\text{E}}\text{I(N)}$ , медленной стадией которого является ионизация молекулы ртутьорганического соединения. Для соединений, реагирующих по механизму  $S_{\text{E}}\text{I(N)}$ , характерно, как и в случае реакции иододемеркурирования несимметричных ртутьорганических соединений, что скорость увеличивается с увеличением стабильности карбаниона  $R^\ominus$ . В случае  $S_{\text{E}}\text{2}$ -реакций известно, что скорость процесса возрастает по мере увеличения нуклео-

фильности радикала. Из изученных нами соединений в условиях протодемеркурирования по этому механизму реагировала только бис-( $\beta$ -хлорвинил)рутуть ( $\text{pKa}$  соответствующей  $\text{RH}$  связи хлористого винила имеет самое большое значение в ряду изученных соединений). В этом случае по ходу кинетических кривых и в опытах с различными исходными концентрациями хорошо выдерживается константа скорости второго порядка ( $K_2^{30^\circ} = 9,9 \cdot 10^{-3}$  л/м.сек). Эта величина существенно меньше, чем  $K_2$  для  $\text{Ph}_2\text{Hg}$  ( $K_2^{30^\circ} = 5 \cdot 10^{-2}$  л/м.сек), что соответствует изменению нуклеофильности радикала.

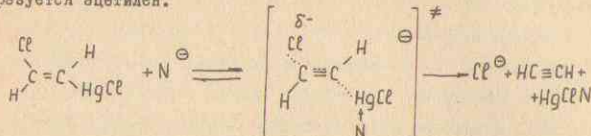
Таким образом, соединения, являющиеся наименее реакционноспособными в условиях  $S_{\text{E}}\text{2}$ -реакций, становятся наиболее реакционноспособными в условиях реакции  $S_{\text{E}}\text{I(N)}$ .

#### У. ВЗАИМОДЕЙСТВИЕ ТРАНС- $\beta$ -ХЛОРИНИМЕРКУРХЛОРИДА (ХВМХ) С ХЛОРИСТЫМ ВОДОРОДОМ В ДМСО И ДМФ

Самостоятельный интерес представляло тщательное исследование кинетики, механизма и продуктов реакции  $\beta$ -ХВМХ с хлористым водородом в ДМСО и ДМФ. В связи с тем, что стабильность карбаниона  $\text{C}_6^{\ominus}-\text{CH}=\text{CH}_2$  относительно мала ( $\text{pKa} = 31,5$ ) в этом случае оказалась возможной реализация как механизма  $S_{\text{E}}\text{2}$  (реакция в диоксане, изученная ранее), для которого требуется, чтобы радикал  $R$  был достаточно нуклеофильным, так и при действии нуклеофильного растворителя — механизма  $S_{\text{E}}\text{I(N)}$ . В тщательно очищенном и сухом ДМСО при концентрации реагентов  $\sim 2$  м/л по спектрам ЯМР зафиксировано образование исключительно хлористого винила. Однако добавка воды или хлорид-ионов вызывает элиминирование этилена.

Можно предположить, что переходное состояние этой реакции

также близко к переходному состоянию реакции  $S_EI(N)$ ; стабилизация карбанионного центра в этом случае осуществляется путем отщепления аниона хлора из  $\beta$ -положения, в результате чего образуется эцетилен.



При кинетическом изучении реакции  $\beta$ -ХМХ с  $\text{HCl}$  в ДМФ константа скорости  $K_1$ , вычисленная на начальных участках кинетических кривых, полученных при различных, но эквимолекулярных концентрациях реагентов, сохраняет постоянство. Добавка 1% воды к ДМФ значительно снижает скорость реакции и стабилизирует значение константы скорости первого порядка (табл. 8).

Таблица 8

Растворитель, $t^0$ реакции	ДМФ, 80		99% ДМФ, 80		
	$\text{CoRgX} = \text{CoHgCl}$ (м/л)	$K_1 \cdot 10^{-5}$ , сек $^{-1}$	$\text{CoRgX} = \text{CoHgCl}$ (м/л)	$K_1 \cdot 10^{-5}$ , сек $^{-1}$	$\text{CoRgX} = \text{CoHgCl}$ (м/л)
$\text{CoRgX} = \text{CoHgCl}$ (м/л)	0,021	0,045	0,022	0,036	0,038
$K_1 \cdot 10^{-5}$ , сек $^{-1}$	5,66 <sup>x</sup>	5,78 <sup>x</sup>	2,44	2,36	2,24

к)  $K_1$  вычислены на начальных участках кинетических кривых.

Сравнение результатов реакции протодемеркурирования соединений бис-( $\beta$ -хлорвинил) ртути и транс- $\beta$ -хлорвинилмеркурихлорида показывает, что последнее, как и следовало ожидать, более склонно к реакциям по механизму  $S_EI(N)$ , т.е. изменение природы субстрата (также как и природы электрофильного агента, и нуклеофильного катализатора) может смещать переходную область между  $S_E2$  и  $S_EI(N)$ -механизмами.

### ВЫВОДЫ:

1. На примере реакции иоддемеркурирования симметричных ртутьоорганических соединений  $R_2Hg$  в  $\text{CCl}_4$ , диоксане, ДМФ и ГМФА получены ряды относительной реакционной способности  $R_2Hg$  в этих растворителях. Показано, что скорость реакции  $S_EI$ -типа не может служить мерой нуклеофильности органической группы  $R$ .

2. Для соединений с сильными электроноакцепторными заместителями при использовании растворителей аprotонного диполярного типа возможно изменение механизма реакции с  $S_E2$  (или  $S_EI$ ) на  $S_EI(N)$ .

3. Кинетически доказан механизм  $S_EI(N)$  реакции иоддемеркурирования пентафтор- и пентахлоренимеркурибромидов в ДМФ. Аналогичным образом трактуется механизм реакции в бензоле в присутствии иодид-иона.

4. Скорость иоддемеркурирования несимметричных ртутьоорганических соединений  $RHgX$ , содержащих в группе  $R$  сильные электроноакцепторные заместители, увеличивается с увеличением стабильности карбаниона  $R^-$  (уменьшением величины  $pK_a$  соответствующих  $RH$ ).

5. Показано, что протодемеркурирование  $R_2Hg$ , которым соответствуют достаточно стабильные карбанионы ( $pK_a$  СН-кислот меньше 27), в условиях нуклеофильного катализа осуществляется по механизму  $S_EI(N)$ . Наблюдается симметричность в изменении  $\lg K_1$  и величина  $pK_a$  соответствующих  $RH$ .

6. Найдено, что реакция протодемеркурирования транс- $\beta$ -хлорвинилмеркурихлорида с хлористым водородом в 99% ДМФ имеет суммарный первый порядок.

ОСНОВНОЕ СОДЕРЖАНИЕ РАБОТЫ ПРЕДСТАВЛЕНОВ СЛЕДУЮЩИХ СТАТЬЯХ :

1. I.P.Beletskaya, L.V.Savinykh, O.A.Reutov.

J.Organometal.Chem., 25, (1970).

2. I.P.Beletskaya, L.V.Savinykh, V.N.Gulyachkina, O.A.Reutov.

J.Organometal.Chem., 25, (1970).

3. I.P.Beletskaya, O.A.Reutov, V.S.Petrosyan, L.V.Savinykh.

Tetrahedron Letters, 6, 485 (1969);

Подп. к печати 30/XI-70 г. №-100496 Ф.60x90/16  
Объем 1,0 Тираж 200 экз. Заказ 1812  
Отпечатано на ротапринтах в типографии Изд. МГУ  
Москва, Ленгоры.